

Э. А. Аринштейн, Д. К. Токарев

Тюменский государственный университет  
ул. Перекопская, 15а, Тюмень, 625000, Россия

earin@inbox.ru, tokarevDK@tngg.ru

## МАТЕМАТИЧЕСКАЯ МОДЕЛЬ ТЕЧЕНИЯ ЖИДКОСТИ В ТРУБЕ ПЕРЕМЕННОГО СЕЧЕНИЯ

Рассмотрены некоторые свойства течения однородной вязкой жидкости в трубе переменного сечения, характеризующейся цилиндрической симметрией. Предложен аналитический подход к определению скорости потока в экстремальных сечениях. Выявлены условия возникновения застойной зоны в окрестностях максимального сечения. Рассмотрен частный случай решения задачи для семейств линий тока, допускающей простое представление.

*Ключевые слова:* уравнение Навье – Стокса, семейство линий тока, параметр линии тока, экстремальное сечение.

Задача о течении несжимаемой жидкости по трубам с периодически меняющимся радиусом вдоль оси рассматривалась в основном в зарубежной литературе. В большинстве случаев для получения профиля скорости и темпа падения давления в трубе переменного сечения авторы предполагали, что течение жидкости происходит в канале с медленно изменяющимся радиусом кривизны [1–4], либо представляли уравнения течения в конечно-разностной форме и реализовывали численные расчет [5–8]. Следует отметить, что в рамках работы по описанию течения жидкости в канале переменного сечения J. A. Deiber и W. R. Schowalter [9] осуществили эксперимент с использованием глицерина в качестве фильтрующей жидкости.

В рамках данной работы предложен аналитический подход к описанию некоторых свойств течения несжимаемой жидкости в трубе с периодически меняющимся радиусом вдоль оси трубы.

### Постановка задачи

Рассмотрим модель течения вязкой несжимаемой жидкости в трубе переменного

сечения. Для упрощения предполагаем, что модель характеризуется следующими свойствами:

- 1) цилиндрическая симметрия вдоль оси трубы;
- 2) профиль стенки трубы можно описать гладкой функцией с чередующимися максимумами и минимумами;
- 3) течение жидкости является ламинарным и стационарным;
- 4) в минимальном и максимальном сечениях скорость принимает экстремальные значения, и, как следствие, ускорение обращается в ноль.

В качестве граничного условия, принято условие прилипания жидкости на стенки трубы радиуса:

$$V(R_{\pm}) = 0. \quad (1)$$

Исходные уравнения в переменных  $r$  и  $z$  (в силу симметрии поставленной задачи физические величины не зависят от угловой координаты) при условии стационарности потока имеют вид

$$\frac{1}{r} \frac{\partial(rV_r)}{\partial r} + \frac{\partial V_z}{\partial z} = 0 -$$

уравнение непрерывности.

Система уравнений Навье – Стокса [10]

$$V_r \frac{\partial V_z}{\partial r} + V_z \frac{\partial V_z}{\partial z} = -\frac{1}{\rho} \frac{\partial P}{\partial z} + \nu \left( \frac{1}{r} \frac{\partial V_z}{\partial r} + \frac{\partial^2 V_z}{\partial r^2} + \frac{\partial^2 V_z}{\partial z^2} \right), \quad (2)$$

$$V_r \frac{\partial V_r}{\partial r} + V_z \frac{\partial V_r}{\partial z} = -\frac{1}{\rho} \frac{\partial P}{\partial r} + \nu \left( \frac{1}{r} \frac{\partial V_r}{\partial r} + \frac{\partial^2 V_r}{\partial r^2} + \frac{\partial^2 V_r}{\partial z^2} - \frac{V_r}{r^2} \right). \quad (3)$$

Экстремальные сечения (сечение, характеризующееся максимальным или минимальным радиусом трубы) обладают существенными особенностями:

$$\left( \frac{\partial V_z}{\partial z} \right)_{\text{extr}} = 0; (V_r)_{\text{extr}} = 0.$$

Благодаря этому нелинейные члены в экстремальных сечениях обращаются в ноль. Рассмотрим участок в окрестности некоторого экстремального сечения, в котором положим  $z = 0$ . Примем, что в окрестности сечения с достаточной точностью  $V_z$  является четной функцией от  $z$  ( $V_z(-z) = V_z(z)$ ), а функция  $V_r$  является нечетной функцией от  $z$  ( $V_r(-z) = -V_r(z)$ ).

Запишем уравнение (2) и (3) в окрестностях экстремальных сечений:

$$\frac{1}{\rho} \frac{\partial P}{\partial z} = \nu \left( \frac{1}{r} \frac{\partial V_z}{\partial r} + \frac{\partial^2 V_z}{\partial r^2} + \frac{\partial^2 V_z}{\partial z^2} \right), \quad (4)$$

$$\frac{1}{\rho} \frac{\partial P}{\partial r} = \nu \left( \frac{1}{r} \frac{\partial V_r}{\partial r} + \frac{\partial^2 V_r}{\partial r^2} + \frac{\partial^2 V_r}{\partial z^2} - \frac{V_r}{r^2} \right). \quad (5)$$

Уравнение (5) выполняется тождественно.

Продифференцируем выражение (4) по  $r$ , выражение (5) по  $z$ :

$$\frac{1}{\rho} \frac{\partial^2 P}{\partial z \partial r} = \nu \left( \frac{1}{r} \frac{\partial}{\partial r} + \frac{\partial^2}{\partial r^2} + \frac{\partial^2}{\partial z^2} - \frac{1}{r^2} \right) \frac{\partial V_z}{\partial r}, \quad (6)$$

$$\frac{1}{\rho} \frac{\partial^2 P}{\partial r \partial z} = \nu \left( \frac{1}{r} \frac{\partial}{\partial r} + \frac{\partial^2}{\partial r^2} + \frac{\partial^2}{\partial z^2} - \frac{1}{r^2} \right) \frac{\partial V_r}{\partial z}.$$

С учетом того, что

$$\begin{aligned} \text{rot} V &= \frac{1}{r} \left( \frac{\partial V_z}{\partial \varphi} - \frac{\partial r V_\varphi}{\partial z} \right) e_r + \\ &+ \left( \frac{\partial V_r}{\partial z} - \frac{\partial V_z}{\partial r} \right) e_\varphi + \frac{1}{r} \left( \frac{\partial r V_\varphi}{\partial r} - \frac{\partial V_r}{\partial \varphi} \right) e_z, \end{aligned}$$

получим следующее соотношение, характеризующее поток жидкости в экстремальном сечении:

$$\Delta \text{rot}_\varphi V \Big|_{z=0} = 0.$$

Для решение задачи необходимо определить зависимость  $\frac{\partial P}{\partial z}$  от  $r$ . Представим уравнение (6) в виде

$$\begin{aligned} \frac{1}{\rho} \frac{\partial^2 P}{\partial r \partial z} &= \\ &= \nu \frac{\partial^2}{\partial z^2} \left( \frac{\partial V_r}{\partial z} - \frac{\partial V_z}{\partial r} \right) = \nu \frac{\partial^2}{\partial z^2} \text{rot}_\varphi V. \end{aligned}$$

Тогда в экстремальном сечении

$$\begin{aligned} \frac{\partial P(z, r)}{\partial z} &= \\ &= \frac{\partial P(z)}{\partial z} + \rho \nu \int_0^r \left( \frac{\partial^2}{\partial z^2} \text{rot}_\varphi V(r') \right) dr'. \end{aligned}$$

Выражение  $\rho \nu \int_0^r \left( \frac{\partial^2}{\partial z^2} \text{rot}_\varphi V(r') \right) dr'$  со-

держит члены третьего порядка по  $z$  и пропорционален вязкости  $\nu$ . В модели маловязкой жидкости его можно рассматривать как малую поправку и учесть методом последовательных приближений. В первом приближении  $\frac{\partial P}{\partial z}$  в экстремальном сечении от радиуса не зависит.

### Поток жидкости в экстремальном сечении

Рассмотрим свойства семейства линий тока в приближении, при котором линии тока подобны контуру трубы и образуют поверхности с цилиндрической симметрией:

$$r_l = kR(z),$$

где  $0 < k < 1$  – параметр линии тока;  $R(z)$  – функция, описывающая контур трубы.

В окрестностях экстремальных сечений параметр линии тока можно определить следующим образом:

$$k = \left( \frac{r}{R} \right) = k_\pm f(r, z),$$

где  $R$  – радиус трубы;  $r = r_l(z)$  на линии тока;  $k_\pm = \left( \frac{r}{R} \right)_\pm$  – параметр линии тока в раз-

личных экстремальных сечениях;  $f(r, z)$  – функция, характеризующая расширения или сжатия линий тока. В окрестностях экстремальных сечений  $f(r, z) \approx 1$ .

В общем случае  $k_- \neq k_+$ .

Гладкая функция  $R(z)$  аппроксимируется первыми двумя членами разложения в ряд

$$R(z) \approx R_{\pm} \left( 1 \mp \frac{z^2}{R^2} \chi_{\pm}^2 \right),$$

где  $\chi^2 = R \left| \frac{\partial^2 R}{\partial z^2} \right| = \frac{R}{r_{curve}}$  – относительная кривизна.

При решении задачи для заданного экстремального сечения начало системы координат помещено на оси трубы в этом сечении.

Закон сохранения массы в окрестностях экстремального сечения представим в виде

$$2\pi V_z r \Delta r = 2\pi V_z r R(z) \Delta k = \text{const}, \quad (7)$$

$$V_z r R(z) = \text{const}.$$

Отсюда следуют соотношения, определяющие старшие производные вдоль линий тока:

$$r \left\{ \frac{\partial V_z}{\partial z} R(z) + V_z \frac{\partial R}{\partial z} \right\} = 0,$$

$$\frac{\partial^2 V_z}{\partial z^2} R(z) + 2 \frac{\partial V_z}{\partial z} \frac{\partial R}{\partial z} + V_z \frac{\partial^2 R}{\partial z^2} = 0.$$

Тогда уравнение Навье – Стокса (1) в экстремальном сечении примет вид неоднородного уравнения Бесселя:

$$\frac{d^2 V_z}{dr^2} + \frac{1}{r} \frac{dV_z}{dr} \pm V_z \left( \frac{\chi}{R} \right)^2 = \frac{1}{\nu \rho} \frac{\partial P}{\partial z}. \quad (8)$$

### Поток жидкости в минимальном сечении

Так как для минимального сечения (далее обозначается индексом «-»)  $\frac{\partial^2 R}{\partial z^2} > 0$ , решение неоднородного уравнения Бесселя (8) с учетом граничного условия (1) будет иметь вид

$$V_z^- = \frac{1}{\nu \rho} \left( \frac{R}{\chi} \right)^2 \left( -\frac{\partial P}{\partial z} \right)_- \left( 1 - \frac{I_0 \left( \frac{r}{R_-} \chi \right)}{I_0(\chi)} \right), \quad (9)$$

где  $I_0(\chi)$  – модифицированная функция Бесселя нулевого порядка.

Определим расход жидкости в трубе через минимальное сечение:

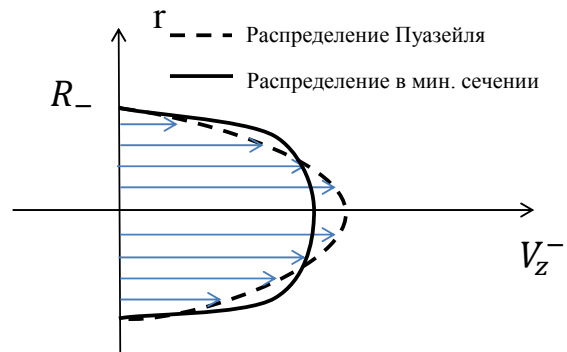
$$Q = \frac{\pi R_-^4}{\nu \chi_-^2} \left( -\frac{\partial P}{\partial z} \right)_- \left( \frac{\chi_- I_0(\chi_-) - I_1(\chi_-)}{\frac{\chi_-}{2} I_0(\chi_-)} \right). \quad (10)$$

Важность определения расхода жидкости следует из того, что он одинаков в любом сечении. Это позволяет связать свойства потока в различных сечениях.

Учитывая (9) и (10), выразим распределение скорости в минимальном сечении через расход жидкости:

$$V_z^- = \frac{Q \chi_-}{2\pi \rho R_-^2} \left( \frac{I_0(\chi_-) - I_0 \left( \frac{r}{R_-} \chi_- \right)}{\frac{\chi_-}{2} I_0(\chi_-) - I_1(\chi_-)} \right). \quad (11)$$

Модифицированная функция Бесселя  $I_0 \left( \frac{r}{R_-} \chi \right)$  всегда положительна и растет экспоненциально при росте аргумента, поэтому распределение скорости в минимальном сечении будет иметь вид, схематически представленный на рис. 1.



Обозначения, принятые в рис. 1–4

$R_-$  – минимальный радиус сечения трубы

$R_+$  – максимальный радиус сечения трубы

$R_f$  – радиус застойной зоны

$r$  – радиус трубы

$V_z^-$  – скорость потока в минимальном сечении трубы

$V_z^+$  – скорость потока в максимальном сечении трубы

Рис. 1. Распределение скорости в сечении с минимальным диаметром

В случае малой кривизны выражения (10) и (11) примут вид

$$Q = \pi \frac{R_-^4}{8\nu} \left( -\frac{\partial P}{\partial z} \right)_- \left( \frac{1 + \frac{1}{12} \chi_-^2 + \dots}{1 + \frac{\chi_-^2}{4} + \dots} \right),$$

$$V_z^- = \frac{2Q}{\pi \rho R_-^2} \left( 1 - \left( \frac{r}{R_-} \right)^2 \right) \times \left( \frac{1 + \left( \frac{\chi_-}{12} \right)^2 \left( 1 + \left( \frac{r}{R_-} \right)^2 + \dots \right)}{1 + \frac{1}{12} \chi_-^4 + \dots} \right).$$

Выражения (10) и (11) являются решением задачи Пуазейля с учетом поправок на кривизну стенок.

#### Поток жидкости в максимальном сечении

В сечении с максимальным радиусом (далее обозначается индексом «+»)  $\frac{\partial^2 R}{\partial z^2} < 0$ , и решение неоднородного уравнения Бесселя (3.2) будет иметь вид

$$V_z^+ = \frac{1}{\nu \rho} \left( \frac{R}{\chi} \right)_+^2 \left( -\frac{\partial P}{\partial z} \right)_+ \left( \frac{J_0 \left( \frac{r}{R_+} \chi_+ \right)}{J_0(\chi_+)} - 1 \right). \quad (12)$$

Ввиду того, что функция  $J_0 \left( \frac{r}{R_+} \chi_+ \right)$  является знакопеременной, необходимо рассмотреть следующие случаи.

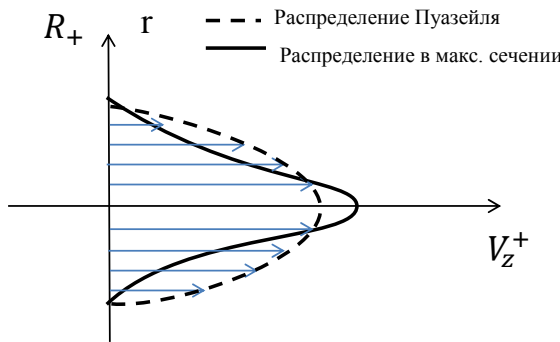


Рис. 2. Распределение скорости в сечении с максимальным диаметром при  $\frac{r}{R_+} \chi_+ < x_1$

1.  $\chi_+ < x_1$ , где  $x \approx 2,40$  – первый корень функции Бесселя  $J_0(\chi_+)$ .

В этом случае  $J_0 \left( \frac{r}{R_+} \chi_+ \right) > 0$  при всех  $r < R_+$ , и задача решается при тех же граничных условиях, что и для случая течения в минимальном сечении.

Расход жидкости определяется выражением

$$Q = \frac{\pi R_+^4}{\nu \chi_+^2} \left( -\frac{\partial P}{\partial z} \right)_+ \left( \frac{J_1(\chi_+) + \frac{\chi_+}{2} J_0(\chi_+)}{\frac{\chi_+}{2} J_0(\chi_+)} \right). \quad (13)$$

Связь скорости в максимальном сечении с расходом примет вид

$$V_z^+ = \frac{Q \chi_+}{2 \pi \rho R_+^2} \left( \frac{J_0 \left( \frac{r}{R_+} \chi_+ \right) + J_0(\chi_+)}{J_1(\chi_+) - \frac{\chi_+}{2} J_0(\chi_+)} \right). \quad (14)$$

Распределение скорости (12) примет вид, представленный на рис. 2.

В случае малой кривизны выражения (13) и (14) примут вид

$$Q = \pi \frac{R_+^4}{8\nu} \left( -\frac{\partial P}{\partial z} \right)_+ \left( \frac{1 - \frac{1}{12} \chi_+^2 + \dots}{1 - \frac{\chi_+^2}{4} + \dots} \right), \quad (15)$$

$$V_z^+ = \frac{2Q}{\pi \rho R_+^2} \left( 1 - \left( \frac{r}{R_+} \right)^2 \right) \times \left( \frac{1 - \left( \frac{\chi_+}{12} \right)^2 \left( 1 + \left( \frac{r}{R_-} \right)^2 + \dots \right)}{1 - \frac{1}{12} \chi_+^4 + \dots} \right). \quad (16)$$

Выражения (15) и (16) являются решением задачи Пуазейля с учетом поправок на кривизну стенок.

Связь градиента давления в максимальном и минимальном сечениях определяется соотношением

$$\left( -\frac{\partial P}{\partial z} \right)_+ = \left( -\frac{\partial P}{\partial z} \right)_- \left( \frac{R_-}{R_+} \right)^4 \left( \frac{\chi_+}{\chi_-} \right)^3 \times \left( \frac{J_0(\chi_+)}{I_0(\chi_-)} \right) \left( \frac{\frac{\chi_-}{2} I_0(\chi_-) - I_1(\chi_-)}{J_1(\chi_+) - \frac{\chi_+}{2} J_0(\chi_+)} \right). \quad (17)$$

2. При  $\chi_+ \rightarrow x_1$  из выражения (17) следует, что  $\left(-\frac{\partial P}{\partial z}\right)_+ \rightarrow 0$ . В этом случае  $\frac{\partial P}{\partial z}$  может быть сравним с поправкой

$$\rho v \int_0^r \left( \frac{\partial^2}{\partial z^2} \text{rot}_\varphi V(r) \right) dr'$$

в выражении (6). Тогда граничное условие прилипания на стенках трубы (1) становится бессмысленным, поэтому выводы о характере решения имеют только качественный характер. При этом вместо граничного условия (1) используется условие  $\left(-\frac{\partial P}{\partial z}\right)_+ \approx 0$

и равенство потоков.

3. В случае, когда  $\chi_+ > x_1$ , скорость при  $\frac{r}{R_+} \chi_+ > x_1$  меняет знак (рис. 3), и течение характеризуется возникновением застойной зоны, в которой жидкость циркулирует с малой скоростью (рис. 4). В этом случае необходимо рассматривать две области потока  $r < R_f$  и  $r > R_f$ , где  $R_f$  – радиус застойной зоны. При переходе из одной области в другую скорость изменяется непрерывно, при этом на границе между областями  $V_z^+ \neq 0$ .

3.1.  $r < R_f$ . В рассматриваемой области остаются справедливы соотношения (12)–(14). При этом параметр, характеризующий линии тока, будет определяться следующим образом:

$$k_f = \frac{r}{R_f},$$

причем  $k_f \sim k_-$ .

Граница застойной зоны  $R_f$  может быть определена из следующих уравнений, описывающих условия постоянства потока по трубе, при условии отсутствия массопереноса в застойной области:

$$V_z^+ = C_1 J_0 \left( \frac{r}{R_+} \chi_+ \right) + \frac{1}{\nu \rho} \left( \frac{\partial P}{\partial z} \right)_{c_2} \left( \frac{R}{\chi} \right)_+^2.$$

$$Q = 2\pi \rho \int_0^{R_f} r V_z^+ dr = \text{const.}$$

$$Q_{\text{заст}} = 2\pi \rho \int_{R_f}^{R_+} r V_z^+ dr = 0.$$

3.2.  $r > R_f$ . Рассматриваемая область характеризуется как застойная зона, в которой

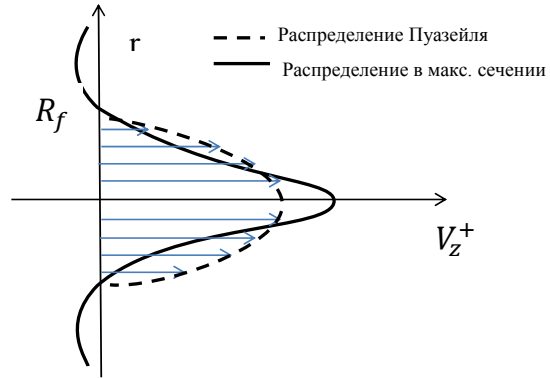


Рис. 3. Распределение скорости в сечении с максимальным диаметром  $\chi_+ > x_1$

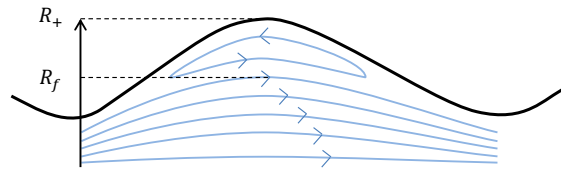


Рис. 4. Структура потока в канале с переменным сечением

жидкость циркулирует. При  $r \rightarrow x_1, x_2 \dots$  (где  $x_1, x_2 \dots$  – корни функции Бесселя)  $\left(-\frac{\partial P}{\partial z}\right)_+ \rightarrow 0$ , а константа при функции Бесселя стремится к малой величине, в связи с чем скорость  $V_z^+$  в окрестностях границы трубы ( $r \rightarrow R_+$ ) не обращается в ноль, а характеризует поведение пограничного слоя жидкости. Параметр линии тока для данного случая определяется как  $k_+ = \frac{r}{R_+}$ , при этом какая либо связь с  $k_-$  отсутствует.

### Простая модель потока при отсутствии застойной зоны

Поток рассматривается между двумя минимальными сечениями, радиус которых предполагается одинаковым. В простой модели все приближения ограничиваются членами второго порядка. Определим функцию, описывающую контур трубы  $R(z)$ , первыми членами разложения в ряд Фурье:

$$R(z) = a + b \sin \frac{z}{\lambda}.$$

Функцию  $f(k, z)$ , характеризующую неравномерность линий тока, примем равной единице.

Соответственно моделируем вид линий тока как  $r = kR(z)$ .

Закон сохранения массы примет вид

$$V_z \left( a + b \sin \frac{z}{\lambda} \right)^2 = \text{const.} \quad (18)$$

Решение уравнения Навье – Стокса для поставленной задачи, будет иметь вид (11), (12).

### Определение градиента давления для заданного участка трубы

Используя выражения (7) и (18), определим зависимость проекции скорости  $V_z$  через экстремальное значение скорости  $V_z^-$

$$V_z = \frac{V_z^- (R^-)^2}{\left( a + b \sin \frac{z}{\lambda} \right)^2}. \quad (19)$$

Учитывая (1) и (19), запишем уравнение Навье – Стокса (1) при  $k = 0$  (ось трубы):

$$\begin{aligned} -\frac{1}{\rho} \frac{\partial P}{\partial z} &= \frac{1}{2} \frac{\partial^2 V_z}{\partial z^2} - \\ &= \frac{v(R^-)^2 \left( (V_z^-)' + r(V_z^-)'' \right)}{r \left( a + b \sin \frac{z}{\lambda} \right)^2} - \frac{\partial^2 V_z}{\partial z^2}. \quad (20) \end{aligned}$$

Проинтегрируем выражение (20) по длине трубы, учитывая, что интеграл от четных функций обращается в ноль. Вводя замену

$\zeta = \text{tg} \frac{z}{2\lambda}$ , получим

$$\begin{aligned} \frac{1}{\rho} \int_{l_2}^{l_1} \frac{\partial P}{\partial z} dz &= \\ &= \frac{v\lambda(R^-)^2 \left( (V_z^-)' + r(V_z^-)'' \right)}{r} \times \\ &\times \frac{\partial}{\partial a} 2 \int_{l_2}^{l_1} \frac{1}{(a + a\zeta^2 + 2b\zeta)} d\zeta. \quad (21) \end{aligned}$$

Пределы интегрирования выберем таким образом, чтобы функция  $\zeta$  была всюду непрерывна:  $l_1' = \pi$ ,  $l_2' = -\pi$ .

Вычисляя интеграл (21), получим связь среднего градиента давления для выделен-

ного участка трубы с градиентом давления в экстремальном сечении с минимальным радиусом на оси трубы ( $r = 0$ ):

$$\left( -\frac{\partial P}{\partial z} \right)_- = \Delta P \frac{\rho (a^2 - b^2)^{\frac{3}{2}}}{2\pi a \lambda (R_-)^2} I_0(\chi).$$

Аналогично (18) представим проекцию скорости  $V_z$  через экстремальное значение скорости  $V_z^+$ :

$$V_z = \frac{V_z^+ (R^+)^2}{\left( a + b \sin \frac{z}{\lambda} \right)^2}.$$

Из уравнение Навье – Стокса (1) при  $k = 0$  (ось трубы) определим связь среднего градиента давления для выделенного участка трубы с градиентом давления в экстремальном сечении с максимальным радиусом на оси трубы ( $k = 0$ ):

$$\left( -\frac{\partial P}{\partial z} \right)_+ = \Delta P \frac{\rho (a^2 - b^2)^{\frac{3}{2}}}{2\pi a \lambda (R_+)^2} J_0(\chi).$$

### Заключение

Результаты исследования позволяют получить количественные оценки некоторых очевидных свойств: в трубе переменного сечения различие в распределении скоростей наиболее существенно именно в сечениях с минимальным и максимальным радиусом. В минимальном сечении скорость вблизи поверхности трубы возрастает, в максимальном – уменьшается в плоть до нуля и образования застойной зоны при достаточно большом радиусе этого сечения. Модель дает количественную оценку «остаточной жидкости», не увлекаемой потоком, в застойных зонах и позволяет найти критерий образования застойной зоны. Модель дает приближенную оценку отношения скоростей в минимальном и в максимальном сечениях при фиксированном потоке:

$$\begin{aligned} V_- / V_+ &= \\ &= \frac{\chi_-}{\chi_+} \left( \frac{R_-}{R_+} \right)^2 \left( \frac{I_0(\chi_-) - 1}{\frac{\chi_-}{2} I_0(\chi_-) - I_1(\chi_-)} \right) \times \end{aligned}$$

$$\times \left( \frac{I_1(\chi_+) - \frac{\chi_+}{2} I_0(\chi_+)}{1 - J_0(\chi_+)} \right).$$

В отличие от канала постоянного сечения в трубе с переменным радиусом наблюдается изменение градиента давления вдоль оси трубы. Данная модель позволяет получить оценку отношения градиентов давления в экстремальных сечениях (формула (17)).

### Список литературы

1. Burns J. C. F., Parkes T. Peristaltic Motion // J. Fluid Mech. 1967. Vol. 29. P. 731.
2. Dodson A. G., Townsend P., Walters K. On the Flow of Newtonian and Non-Newtonian Liquids through Corrugated Pipes // Rheol. Acta. 1971. Vol. 10. P. 508.
3. Chow J. C. F., Soda K. Laminar Flow in Tubes with Constriction // Phys. Fluids. 1972. Vol. 15. P. 1700.
4. Lauga E., Stroock A. D., Stone H. A. Three-dimensional flows in slowly varying

planar geometries // Physics of Fluids. 2004. Vol. 16. No. 8.

5. Payatakes A. C., Chi Tien, Turian R. M. Numerical Solution of Steady State Incompressible Newtonian Flow through Periodically Constricted Tube // Physics of Fluids. 1973. Vol. 19. P. 67.

6. Azzam M. I. S., Dullien F. A. L. Flow in Tubes with Periodic Step Changes in Diameter: A Numerical Solution // Chem. Eng. Sci. 1977. Vol. 32. P. 1445.

7. Kitandis P. K. Stokes Flow in a Slowly Varying Two-Dimensional Periodic Pore // Transport in Porous Media. 1997. Vol. 26. P. 89–98.

8. Tambaca J. Effective model of the fluid through elastic tube with variable radius. 2005.

9. Deiber J. A. Flow Through Tubes with Sinusoidal Axial Variations in Diameter // Aiche Journal. 1979.

10. Ландау Л. Д., Лифшиц Е. М. Теоретическая физика. М.: Наука, 1986. Т. 6. 735 с.

Материал поступил в редколлегию 12.10.2016

**E. A. Arinshstein, D. K. Tokarev**

*Tyumen State University  
15a Perekopskaya Str., Tyumen, 625000, Russian Federation*

*earin@inbox.ru, tokarevDK@tngg.ru*

### MATHEMATICAL MODEL OF LIQUID FLOW THROUGH THE PIPE OF CURCULAR CROSS-SECTION

This article analyses the properties of homogeneous viscous liquid flow in the pipe with variable cross-section characterized by cylindrical symmetry. The analytical approach is proposed in order to determine the flow velocity profile in the pipe's extremium cross-sections. The conditions when dead spaces emerge in neighborhood of the maximum cross-section are identified. The particular case of problem-solving allowing prime presentation is examined for the set of current line allowing prime presentation.

**Keywords:** Navier – Stokes equation, set of current lines, current lines' parameter, extremium cross-section.